

تأثير ميل القناة على خصائص الجريان للمسقط المائي العمودي والمنحرف

احمد يونس محمد

مدرس مساعد - جامعة الموصل/كلية الهندسة/قسم الموارد المائية

الخلاصة

يقدم هذا البحث دراسة عملية وتحليل لتأثير ميل القناة على المسقط المائي فضلاً عن مقارنة بين المسقط العمودي والمنحرف في قناة مستطيلة مختلفة الميل.

تم إيجاد علاقات بين عمق الماء الحرجة وعمق الماء فوق حافة المسقط المائي العمودي والمنحرف ولجميع الميل، ووجد بأنها تتغير تبعاً للتغير ميل القناة. وجد التصريف الحقيقي للنموذجين ولجميع الحالات وقورن بالتصريف المحسوب من المعادلات النظرية، ومن النتائج تم التوصل إلى أن التصريف المار عبر المسقط المنحرف أعلى من العمودي بنسبة (21%) وكانت نسبة الخطأ لقيم التصريف المحسوبة مقارنة بالمقاسة لا تتجاوز (15% و 12%) للمسقط المنحرف والعمودي على التوالي، وإن قيم معامل التصريف (C_d) للمسقط العمودي كانت أعلى بنسبة (25%) مقارنة بالمنحرف، كما تم التوصل إلى علاقات بين ميل القناة ونسبة عمق الماء فوق حافة المسقط إلى عمق الماء الحرجة (h_e/h_c) للمسقط العمودي والمنحرف.

الكلمات الدالة : المسقط المائي، الهدار، العمق الحرجة، العمق عند حافة المسقط، ميل القناة

Effecting of Channel Slope on Flow Characteristics for Straight Vertical and Skew Free overfall

Ahmed Y.Mohammed

Asst. Lect.- Univ. of Mosul, Coll. of Eng., Dept. of Water Resources, Eng.

Abstract

This paper presents an experimental study and analysis for effect of channel slope on straight vertical and skew free overfall for a rectangular channel with different slopes. The relationship between the critical depth and brink depth for both vertical and skew free overfall are found and shown to be influenced by channel slope. The measured discharge from standard weir was compared with calculated discharge from theoretical equation and found that the discharge over skewed model is greater by (21%) from straight vertical, and the error percentage for calculated and measured discharge not exceed (15% and 12%) for skewed and vertical models respectively for all slopes. The discharge coefficient for vertical model is greater by (25%) than skew, relationships between end and critical depths (h_e/h_c) with channel slope for straight vertical and skew free overfall were calculated.

قائمة الرموز:

المعنى	الوحدة	الرمز
عمق الماء عند حافة المسقط	L	h_e
عمق الماء الحرج	L	h_c
الميل الطولي للقناة	-	S_o
عمق الماء فوق الهدار القياسي	L	H_w
التصريف لوحدة العرض	$L^3/T \cdot L$	q
التصريف المقاس	L^3/T	Q_m
التصريف المحسوب	L^3/T	Q_{cal}
رقم فرود	-	F_o
معامل التصريف	-	C_d
عمق الماء المنتظم فوق المسقط العمودي والمنحرف	L	h_o
عمق الماء عند مركز القناة فوق حافة المسقط المنحرف	L	$h_{e\text{center}}$
التعجيل الأرضي	L/T^2	g
عرض القناة المختربة	L	b

المقدمة:

المسقط المائي هو عبارة عن هدار ذو حافة عريضة (Broad crested weir) يحدث فيه تغيير مفاجئ في الارتفاع مسبباً سقوط حر للماء وهو يستخدم كجهاز لقياس التصريف في القنوات المفتوحة.

أجريت العديد من البحوث المختبرية والنظيرية لدراسة المنسوب المائي فقد درس كل من باور و كراف (Bauer and Graf 1971) المنسوب المائي بميل قليل وثلاثة أنواع من التخشين وتوصلوا الى قيمة ثابتة لنسبة عمق الماء فوق حافة المنسوب المائي الى عمق الماء الحرجة (h/h_c) وهي بحدود (0.78) وتوصلوا إلى معادلة لحساب التصريف بنسبة خطأ لا تتجاوز (5%).

أما راجاراتنام وأخرون (Rajaratnam et. al. 1976) وديفس وآخرون (Davis et. al. 1998) فقد درساً تأثير الميل والخشونة على عمق الماء فوق الحافة حيث وجدوا أن نسبة (h_e/h_c) تتأثر بالميل والخشونة وان تأثير الخشونة يزداد كلما زاد الميل.

مارجي (Marchi) (1993) وفiero (Ferro) (1999) درسا المسقط المائي نظريا في قناة مستطيلة باستخدام علاقه (التصريف-عمق الماء فوق الحافة) بينما قدم موهاپاترا وآخرون (Mohapatra et. al.) (2001) دراسة نظرية باستخدام المحاكاة العددية لایجاد عمق الماء الحر ج و مخطط سطح الماء و التصريف.

ركز هذا البحث على تأثير ميل القناة على علاقة عمق الماء فوق الحافة للمسقط المائي العمودي والمنحرف مع عمق الماء الحرj (h_c/h_0). كما تم إيجاد علاقة نظرية لإيجاد التصريف المار فوق المسقط المائي لكل حالة من حالات الميل ومقارنتها بالتصريف الحقيقي المار بالقناة. فضلاً عن إيجاد علاقات نظرية لكل من حالات الميل مع نسبة (h_c/h_0) للمسقط العمودي والمنحرف.

العمل المختبري:

تم اجرى العمل المختبرى في مختبر الهيدروليك لكلية الهندسة جامعة الموصل في قناة زجاجية بأبعاد (30) سم عرض و (45) سم ارتفاع و (10) م طول، ذات حدر ان من الزجاج وقعر من الالمنيوم، شكل (1).

تم قياس التصريف المار بالقناة (Q_m) بواسطة هدار مستطيل حاد الحافة بعرض القناة وارتفاعه (15) سم مثبت في نهاية القناة ويرفع بعد كل عملية قياس للتصريف لضمان عدم تكون ماء ذيلي مؤخر النماذج. وان معادلة التصريف لهذا الهدار هي (الطاي، 2002).

حيث ان (Q_m) التصريف المقاس (l/s)
و (H_w) عمق الماء فوق الهدار القاسى (cm)

تم عمل نموذج المسقط والذي هو عبارة عن هدار عريض الحافة بطول (2) م وعرض (30) سم وأجريت كافة الفحوصات مؤخر هذا الهدار حيث أخذت حافة شاقولية ومنحرفة بزاوية (30) درجة عن حدار القناة الأشكار (2 و 3).

محمد : تأثير ميل القناة على خصائص الجريان للمسقط المائي العمودي والمنحرف

استخدمت ثلاثة ميول للقناة حيث تم تغيير الميل الطولي للقناة من الأفقي إلى الميول (1/100) و (1/200) كما تم استخدام ثمانية تصاريف لكل حالة تغيرت من (2.68 1/s) إلى (17.859 1/s). المتغيرات المقاسة لكل تجربة هي عمق الماء المنتظم وعمق الماء فوق حافة المسقط وعمق الماء مقدم الهدار القياسي على التوالي (H_w , h_e , h_0) ومخطط سطح الماء، بينما باقي المتغيرات حسبت كما يلي: التصريف لوحدة العرض (q) حسب المعادلة:

حيث ان (b) عرض القناة وهي تساوي (30 cm)
أما رقم فرود (F_0) فحسب من المعادلة:

$$F_o = q/h_o \sqrt{gh_o} \quad \dots \dots \dots \quad (3)$$

حيث ان (g) هو التوجيه الارضي (m/s^2) في حين وجد العمق الحرج (h_c) من المعادلة:

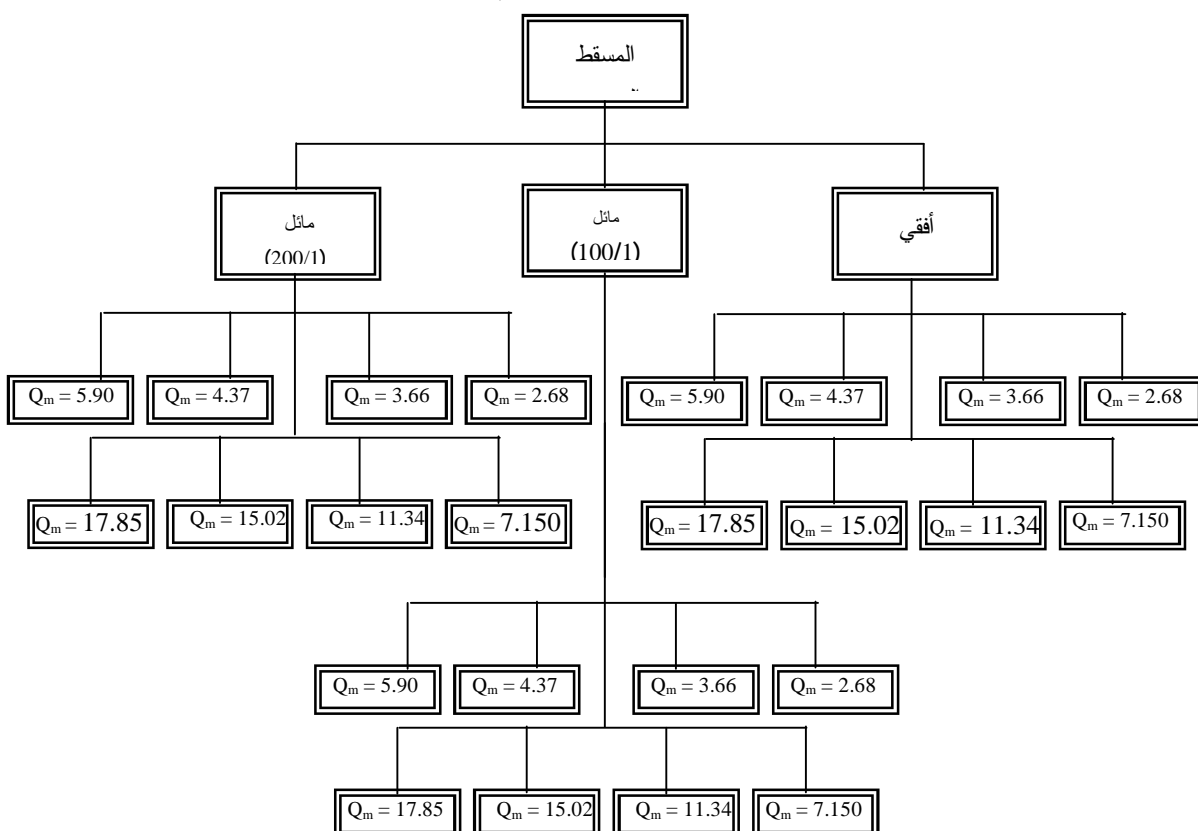
$$h_c = \sqrt[3]{q^2/g} \quad \dots \dots \dots \quad (4)$$

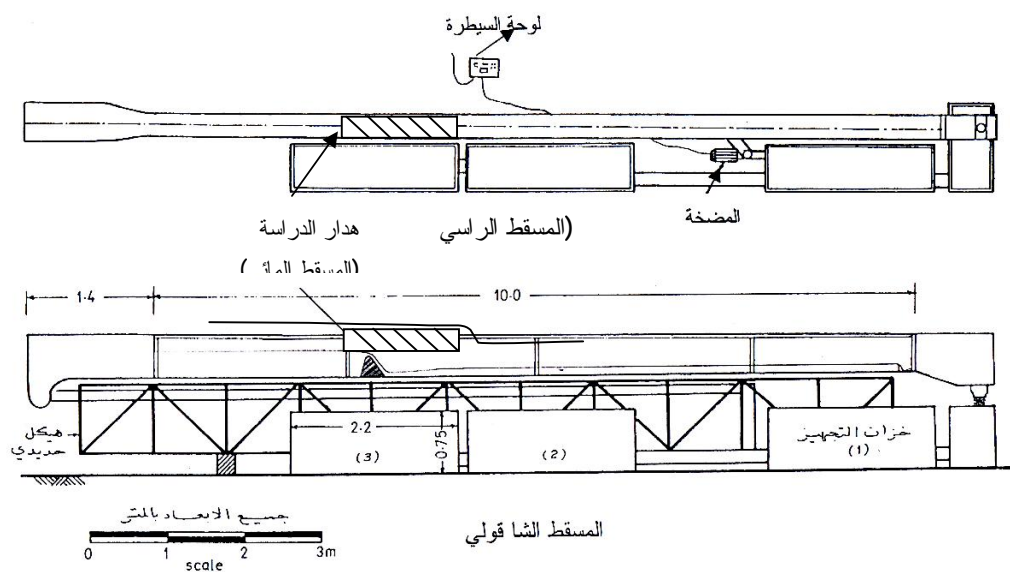
و التصریف المحسوب فوحد من المعادلة

$$\Omega_{\text{cal}} = \hbar \sqrt{g h_e^3} \quad (5)$$

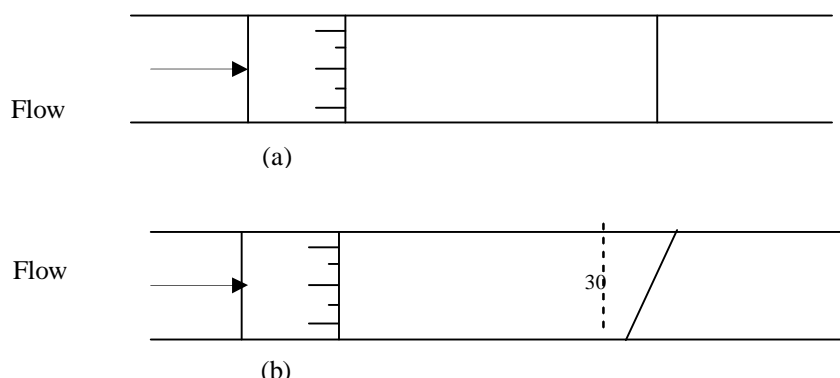
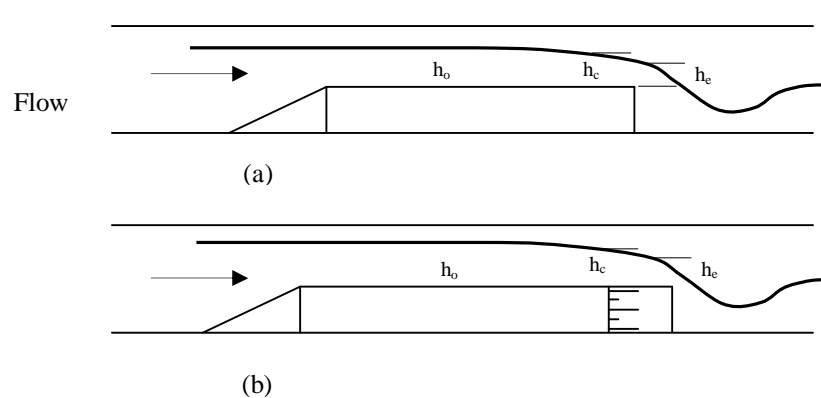
حيث ان (Q_{cal}) هو التصريف المحسوب (l/s)
و (h_o) هو عمق الماء فوق حافة المسقط العمودي ، والمنحر ف (cm)

مخطط العمل المختبرى





الشكل (1) القناة المختبرية

الشكل (2) منظر علوي لهادر الدراسة
(a) المسقط العمودي (b) المسقط المنحرفالشكل (3) منظر جانبي لهادر الدراسة
(a) المسقط العمودي (b) المسقط المنحرف

الحسابات والنتائج:

تم استخدام (48) تصريف الواقع ثمانية تصارييف لكل نموذج ومن خلال هذه التجارب تمت قراءة البيانات لكل من عمق الماء فوق الهدار الفيسي مؤخر القناة (H_w) لحساب التصريف (Q_m) من المعادلة (1) وعمق الماء الطبيعي فوق هدار الدراسة (المسقط العمودي والمنحرف) (h_o) وعمق الماء مؤخره عند الحافة (h_e), بينما تم حساب عمق الماء للخرج من المعادلة (4) ورقم فرود (F_0) من المعادلة (3) والتصريف (Q_{cal}) من المعادلة (5) ومعامل التصريف (C_0) من المعادلة:

وجميع هذه البيانات موضحة بالجداول (1-6).

الجدول (1) البيانات المختبرية والمحسوبة للمسقط العمودي الأفقي

H _W (cm)	Q _m (l/s)	q (m ³ /s.m)	h _o (cm)	h _c (cm)	h _e (cm)	F _o	h _e /h _c	Q _{cal} (l/s)	C _d	Sur. Or diff. of (Q _{cal})
9.2	17.859	0.060	8.2	7.122	5	0.809	0.702	18.682	0.956	1.103
8.2	15.028	0.050	8	6.348	4.5	0.707	0.709	15.951	0.942	1.165
6.8	11.349	0.038	6.8	5.264	3.7	0.681	0.703	11.893	0.954	1.189
5	7.155	0.024	5.2	3.871	2.6	0.642	0.672	7.005	1.021	1.182
4.4	5.907	0.020	4.3	3.406	2.4	0.705	0.705	6.212	0.951	0.983
3.6	4.372	0.015	4	2.787	1.9	0.582	0.682	4.376	0.999	1.094
3.2	3.664	0.012	3.8	2.477	1.7	0.526	0.686	3.703	0.989	0.966
2.6	2.683	0.009	3.5	2.013	1.4	0.436	0.696	2.768	0.969	1.156

الجدول (2) البيانات المختبرية والمحسوبة للمسقط العمودي المائل بنسبة (100/1)

H _w (cm)	Q _m (l/s)	q (m ³ /s.m)	h _o (cm)	h _c (cm)	h _e (cm)	F _o	h _e /h _c	Q _{cal} (l/s)	C _d	Sur. Or diff. of (Q _{cal})
9.2	17.859	0.060	7.5	7.122	4.4	0.925	0.617	15.422	1.158	1.162
8.2	15.028	0.050	7.2	6.347	4	0.827	0.630	13.36	1.124	1.197
6.8	11.348	0.038	4.8	5.264	3.3	1.148	0.626	10.017	1.133	1.120
5	7.155	0.024	4	3.870	2.5	0.951	0.645	6.605	1.083	1.067
4.4	5.906	0.020	3.5	3.406	2	0.960	0.587	4.726	1.249	1.013
3.6	4.371	0.015	3.2	2.786	1.8	0.812	0.645	4.035	1.083	0.983
3.2	3.663	0.012	3	2.477	1.5	0.750	0.605	3.069	1.193	0.925
2.6	2.683	0.009	2.5	2.012	1	0.722	0.496	1.671	1.605	1.103

الجدول (3) البيانات المختبرية والمحسوبة للمسقط العمودي المائل بنسبة (200/1)

H _W (cm)	Q _m (l/s)	q (m ³ /s.m)	h _o (cm)	h _c (cm)	h _e (cm)	F _o	h _e /h _c	Q _{cal} (l/s)	C _d	Sur. Or diff. of (Q _{cal})
9.2	17.859	0.060	8	7.122	4.6	0.839	0.645	16.485	1.083	1.167
8.2	15.028	0.050	7.5	6.347	4.3	0.778	0.677	14.899	1.008	1.159
6.8	11.348	0.038	5.2	5.264	3.5	1.018	0.664	10.941	1.037	1.129
5	7.155	0.024	4.4	3.871	2.5	0.825	0.645	6.605	1.083	1.216
4.4	5.906	0.020	3.5	3.406	2.3	0.960	0.675	5.828	1.013	0.970
3.6	4.371	0.015	3.3	2.786	1.8	0.776	0.645	4.035	1.083	1.134
3.2	3.663	0.012	3	2.477	1.5	0.750	0.605	3.069	1.193	1.043
2.6	2.683	0.009	2.6	2.012	1.3	0.681	0.645	2.476	1.083	1.146

الجدول (4) البيانات المختبرية والمحسوبة للمسقط المنحرف الأفقي

H _w (cm)	Q _m (l/s)	q (m ³ /s.m)	h _o (cm)	h _c (cm)	h _e (cm) center	F _o	h _e /h _c	Q _{cal} (l/s)	C _d
9.2	17.859	0.060	7.2	7.122	4.4	0.983	0.631	19.930	0.866
8.2	15.028	0.050	7	6.347	4.2	0.863	0.661	18.587	0.808
6.8	11.349	0.038	6.8	5.264	3.4	0.681	0.664	13.538	0.802
5.2	7.589	0.025	4.6	4.025	2.45	0.818	0.608	8.281	0.916
4.4	5.906	0.020	3.7	3.406	2	0.883	0.587	6.107	0.967
3.7	4.554	0.015	3.3	2.864	1.7	0.808	0.593	4.786	0.951
3.2	3.663	0.012	2.9	2.477	1.4	0.789	0.565	3.577	1.024
2.7	2.839	0.009	2.5	2.090	1.3	0.764	0.622	3.200	0.887

الجدول (5) البيانات المختبرية والمحسوبة للمسقط المنحرف المائل بنسبة (100/1)

H _w (cm)	Q _m (l/s)	q (m ³ /s.m)	h _o (cm)	h _c (cm)	h _e (cm) center	F _o	h _e /h _c	Q _{cal} (l/s)	C _d
9.2	17.859	0.060	6.8	7.122	4.1	1.071	0.575	17.927	0.996
8.2	15.028	0.050	6.4	6.347	3.8	0.987	0.598	15.996	0.939
6.8	11.349	0.038	4.1	5.264	3	1.454	0.569	11.221	1.011
5.2	7.589	0.025	3.6	4.025	2.2	1.182	0.546	7.046	1.077
4.3	5.706	0.020	2.7	3.328	1.7	1.368	0.510	4.786	1.192
3.7	4.554	0.015	2.2	2.864	1.5	1.485	0.523	3.967	1.148
3.3	3.836	0.012	2	2.554	1.2	1.443	0.469	2.838	1.351
2.7	2.839	0.009	1.6	2.090	0.9	1.493	0.430	1.843	1.540

الجدول (6) البيانات المختبرية والمحسوبة للمسقط المنحرف المائل بنسبة (200/1)

H _W (cm)	Q _m (l/s)	q (m ³ /s.m)	h _o (cm)	h _c (cm)	h _e (cm) center	F _o	h _e /h _c	Q _{cal} (l/s)	C _d
9.2	17.859	0.060	7	7.122	4.3	1.026	0.603	19.255	0.927
8.2	15.028	0.050	6.5	6.347	4	0.965	0.630	17.275	0.869
6.8	11.349	0.038	5	5.264	3.2	1.080	0.607	12.361	0.918
5.2	7.589	0.025	4.2	4.025	2.4	0.938	0.596	8.028	0.945
4.4	5.9069	0.020	3.4	3.406	1.9	1.002	0.557	5.655	1.044
3.7	4.5549	0.015	2.8	2.864	1.65	1.034	0.576	4.576	0.995
3.2	3.6636	0.012	2.5	2.477	1.3	0.986	0.524	3.200	1.144
2.7	2.8394	0.009	2	2.090	1.2	1.068	0.574	2.838	1.003

رسمت علاقة بين عمق الماء الحر (h_c) وعمق الماء عند حافة المسقط (h_e) كما موضحة في الأشكال (5).

حيث وجدت العلاقات التالية لكل حالة من حالات المسقط العمودي والمنحرف:

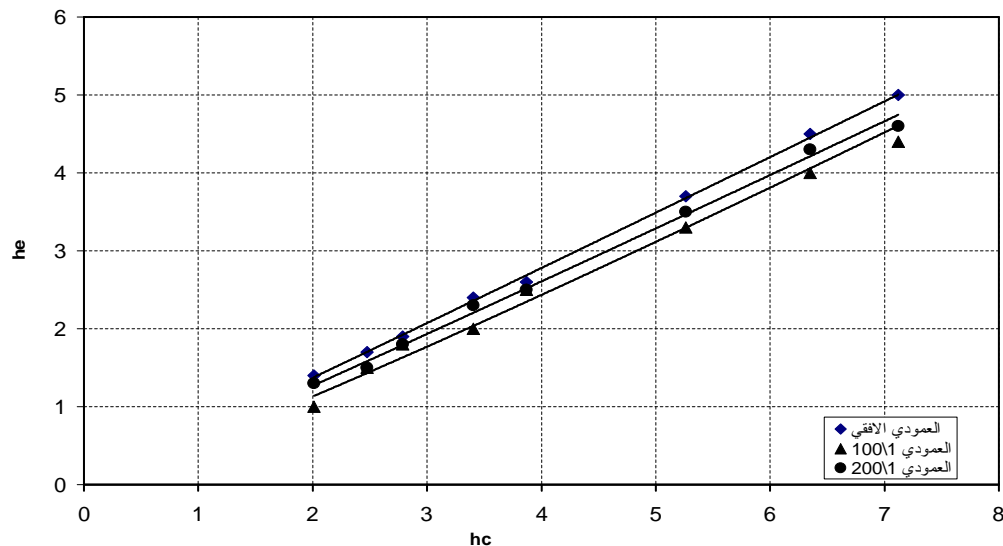
المعادلات (9,8,7) توضح العلاقات بين (h_c و h_e) للمسقط العمودي الأفقي والمائل بنسبة (1/200) و (1/100).

على التوالي:

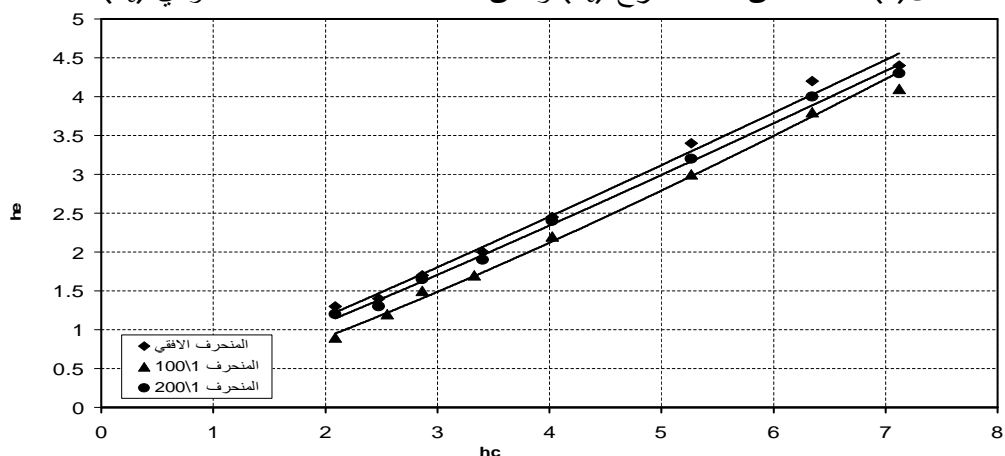
محمد : تأثير ميل الفتاة على خصائص الجريان للمسقط المائي العمودي والمنحرف

$$h_e = 0.525 h_c^{1.106} \dots \quad (9)$$

بينما المعادلات (10,11,12) توضح العلاقات بين (h_c و h_e) للمسقط المنحرف الأفقي والمائل بنسبة (1/200) و (1/100) على التوالي:



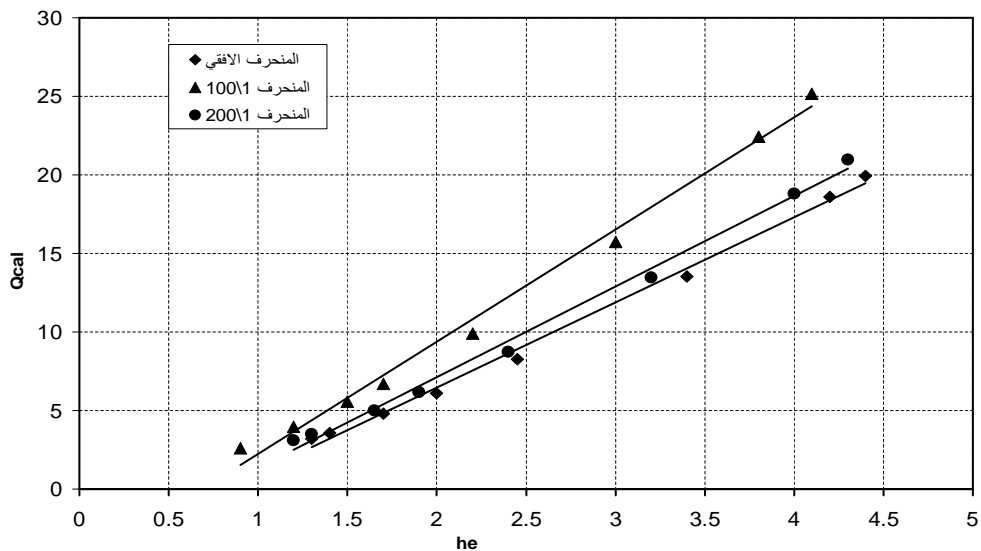
الشكل(4) علاقه عمق الماء الحر ج (h_c) وعمق الماء عند حافة المسقط العمودي (h_e)



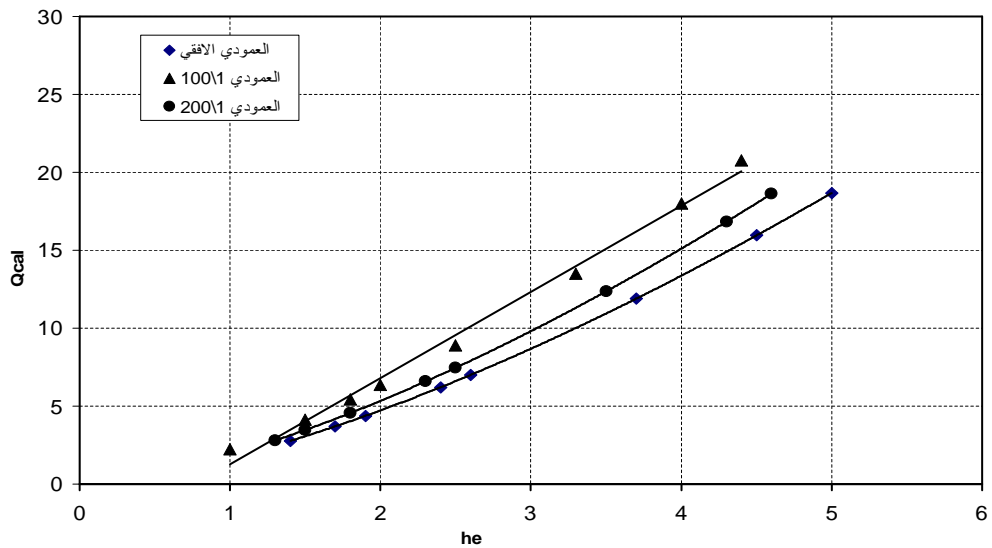
الشكل(5): علاقة عمق الماء عند حافة المسقط (h_e) والتصريف المحسوب (Q_{cal}) للمسقط المنحرف

الأشكال (6و7) يمثلان علاقة عمق الماء فوق حافة المسقط (h_e) والتصريف المحسوب (Q_{cal}) للمسقط المنحرف والعمودي على التوالي.

من هذين الشكلين يلاحظ زيادة مقدار التصريف للنموذجين العمودي والمنحرف لنفس قيم (he) مع زيادة ميل القناة وان أعلى قيمة للتصارييف كانت عند ميل القناة $(1/100)$, بينما يلاحظ زيادة قيمة التصريف في المسقط المنحرف بنسبة تصل الى (21%) تفريباً مقارنة بالمسقط العمودي عندما يكون ميل القناة $(200/1)$.



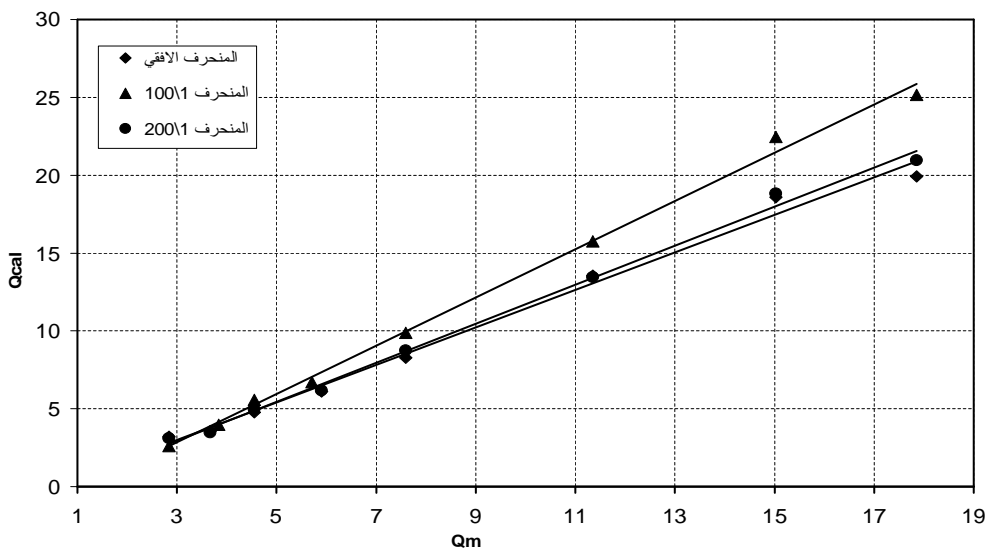
الشكل (6) علاقة عمق الماء عند حافة المنسقط (h_e) والتصريف المحسوب (Q_{cal}) للمسقط المنحرف



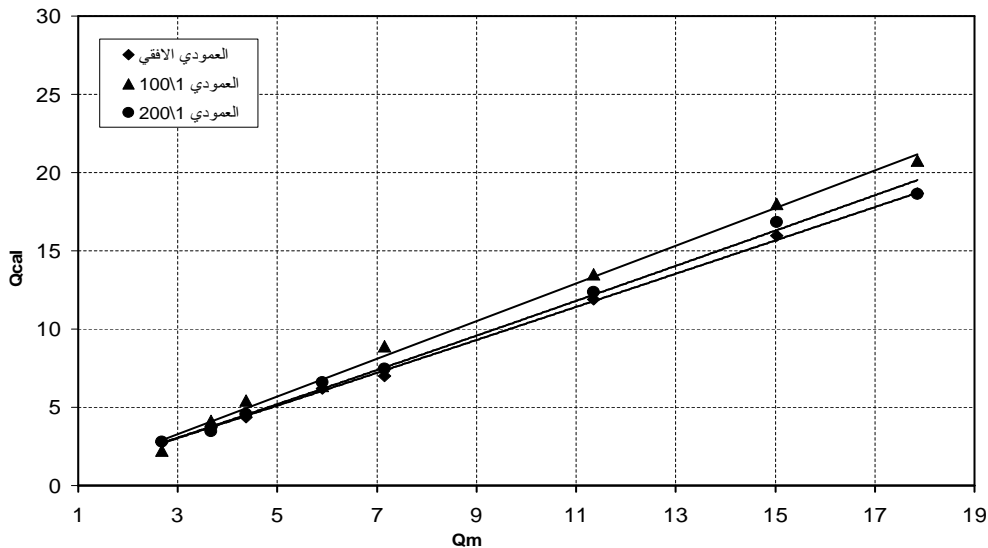
الشكل (7) علاقة عمق الماء عند حافة المنسقط (h_e) والتصريف المحسوب (Q_{cal}) للمسقط العمودي

الشكل (8) يمثل مقارنة قيم التصريف الحقيقي المقاس (Q_m) والمحسوب (Q_{cal}) للمسقط المنحرف، حيث يلاحظ أن نسبة الخطأ لاتتجاوز (15%) بين التصريف المقاس والمحسوب من جهة وتقربها للمسقط الأفقي والمائل (200/1) من جهة أخرى. أما للمسقط المنحرف بميل (100/1) فيلاحظ تباعد قيم التصارييف المحسوبة عن المقاسة بشكل أكبر عن المنسقط الأفقي والمائل (200/1) لتردد نسبة الخطأ إلى (%26).

الشكل (9) يمثل مقارنة قيم التصريف الحقيقي (Q_m) والمحسوب (Q_{cal}) للمسقط العمودي، حيث يلاحظ تقارب قيم التصريف المقاس و المحسوب لجميع الحالات للمسقط العمودي الأفقي والمائل (200/1) و(100/1) على التوالي بنسبة خطأ لا تتجاوز (%12).



الشكل (8): علاقة التصريف الحقيقي (المقاس) (Q_m) والمحسوب (Q_{cal}) للمسقط المنحرف



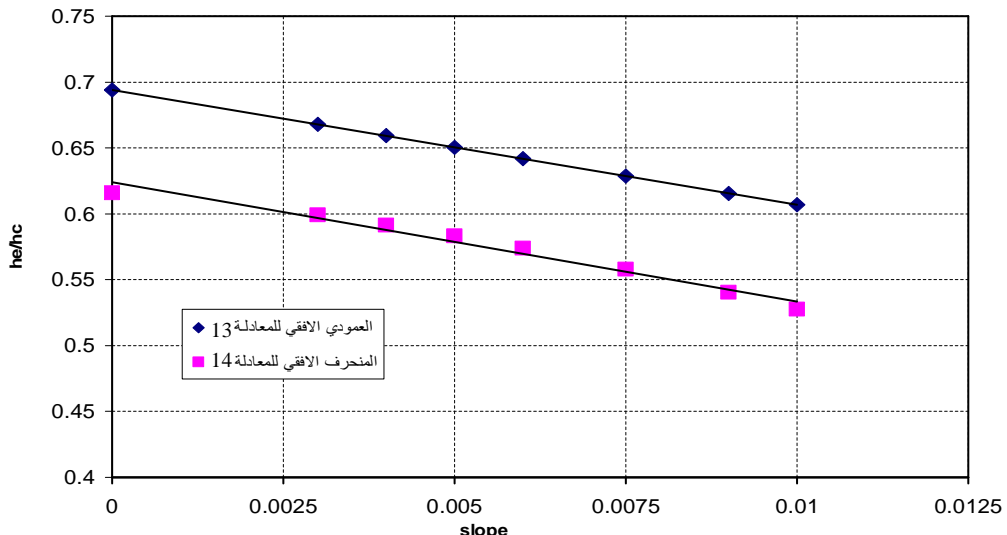
الشكل (9): علاقة التصريف الحقيقي (المقاس) (Q_m) والمحسوب (Q_{cal}) للمسقط العمودي

تم التوصل إلى المعادلات (13,14) والتي تم إيجادها رياضياً باعتماد التحليل النظري باستخدام برنامج التحليل الإحصائي (Spss v.10), وهاتان المعادلتان توضحان العلاقة بين ميل القناة (S_0) ونسبة (h_e/h_c) للمسقط العمودي والمنحرف على التوالي ولجميع حالات الميل:

حيث أن: S_0 = الميل الطولي للقناة

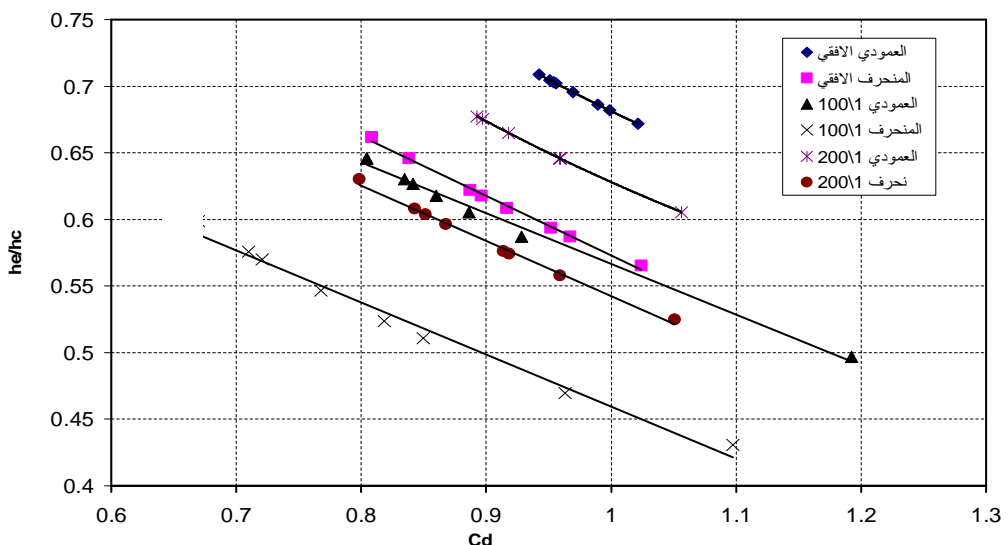
والشكل (10) يبين مقارنة قيم عمق الماء فوق حافة المسقط العمودي والمنحرف وعمق الماء الحرj (h_e/h_c) مع ميل القناة (S_0), حيث تم حساب قيم (h_e/h_c) نظرياً من المعادلتين السابقتين، في هذا الشكل تم الاعتماد على رسم العلاقة بفرض عدة قيم للميل في المعادلات (13) أو (14) لإيجاد قيمة (h_e/h_c), حيث يلاحظ تناقص هذه القيم مع زيادة الميل.

(Davis et. al., 1998) فكانت أدنى قيمة لنسبة (h_e/h_c) بحدود (0.52) عند المنسوب المنحرف والمائل (100/1)، بينما كانت أعلى قيمة بحدود (0.694) عند المنسوب العمودي الأفقي. كما يلاحظ أن قيمة لنسبة (h_e/h_c) مع الميل كانت أقل لجميع حالات المنسوب المنحرف مقارنة بالمسقط العمودي.



الشكل (10) علاقة ميل القناة ونسبة (h_e/h_c) للمسقط العمودي والمنحرف للمعادلات (13 و 14)

الشكل (11) يمثل علاقة معامل التصريف ($C_d = Q_m/Q_{cal}$), التصريف المقاس إلى المحسوب، مع نسبة (h_e/h_c) في المنسوب العمودي والمنحرف ولجميع حالات الميل. من هذا الشكل يلاحظ مع زيادة قيمة (h_e/h_c) يقل معامل التصريف (C_d) ولذلك فإن قيمة (C_d) للمسقط العمودي أعلى منها في المنسوب المنحرف بنسبة (25%) لجميع حالات الميل، وكانت أعلى قيمة لمعامل التصريف عند ميل القناة (100/1) للمسقط العمودي والمنحرف وأدناؤها للميل الأفقي عند نفس قيمة (h_e/h_c).



الشكل (11): علاقة معامل التصريف (C_d) مع نسبة (h_e/h_c) للمسقط العمودي والمنحرف

الاستنتاجات:

قدم هذا البحث دراسة وتحليل لتأثير ميل القناة على المسقط المائي كما قدم مقارنة بين المسقط العمودي والمنحرف بزاوية (30°) عن جدار القناة . ومن خلال الدراسة وجد أن قيم التصارييف للمسقط المنحرف أعلى منها للمسقط الأفقي بنسبة (21%) ولجميع حالات ميل القناة . وان قيم التصريف المحسوب والمقياس كانت متقاربة للمسقط العمودي والمنحرف ولجميع حالات الميل بنسبة خطأ لا تتجاوز (15%) للمسقط المنحرف و(12%) للمسقط العمودي عدا حالة المسقط المنحرف والمائل بنسبة (100/1) فقد بلغت نسبة الخطأ بين التصريف المقياس والمحسوب بنسبة (26%)، وبلغت أعلى نسبة زيادة في التصريف المحسوب (Q_{cal}) في المسقط المنحرف والمائل (100/1) مقارنة بالمسقط العمودي حيث بلغت هذه النسبة (1.216). كما تم التوصل إلى علاقات نظرية بين نسبة (h_e/h_c) وميل القناة (S_0) للمسقط العمودي والمنحرف وعلاقة نظرية لإيجاد التصريف المحسوب (Q_{cal}) لجميع حالات المسقط العمودي والمنحرف، كما أن قيم معامل التصريف (C_d) للمسقط العمودي كانت أعلى من المنحرف بنسبة (25%). عليه يمكن زيادة ميل القناة واستخدام مسقط منحرف لزيادة التصريف في القنوات المفتوحة.

المصادر:

- Ahmed Y. M., Moayed S. K., Mwafaq Y. M., (2007). " Variation of Water Depth on Normal and Skewed Broad Crested Weirs", Tikret Univ. Jou. Of Eng., in press.
- Bauer S. W. and Graf W. H. (1971). "Free overfall as flow measuring device", Jou. Of Irr. & Dra. Eng., ASCE, 97(1), 73-83.
- Davis A.C., Brian G.S. and Jacob R. P. (1998). "Flow Measurement in sloping channels with rectangular free overfall", Jou. Of Hyd. Eng., ASCE, 124(7), 760-763.
- Ferro V. (1999). "Theoretical end-depth-discharge relationship for free overfall ", Jou. Of Irr. & Dra. Eng., ASCE, 125(1),40-44.
- Marchi E. (1993). " On the Free overfall ", Jou. Of Hyd. Res. Delft, The Netherlands, 31(6).
- Mohapatra P. K., Bhallamudi S. M. and Eswaran V. (2001). " Numerical study of flow with multipl Free surfaces ", Int. Jou. Of Num. Methods Fluids, 36, 165-184.
- Rajaratnam N., Durfakula M. and Spyridon B. (1976). " Roughness effects on rectangular free overfall", Jou. Of Hyd. Div., ASCE, 102(5), 599-614.

الطائي، احمد يونس، (2002) " دراسة هيدروليكية لأداء البوابات العمودية والمائلة والمركبة على سد غاطس " أطروحة ماجستير، قسم الموارد المائية، كلية الهندسة، جامعة الموصل.

تم اجراء البحث في كلية الهندسة – جامعة الموصل